

Theory

Superconductivity in MoS₂ surface

新潟大学大学院 自然科学研究科 柳瀬研究室
博士 1 年 中村康晴

Dispersion

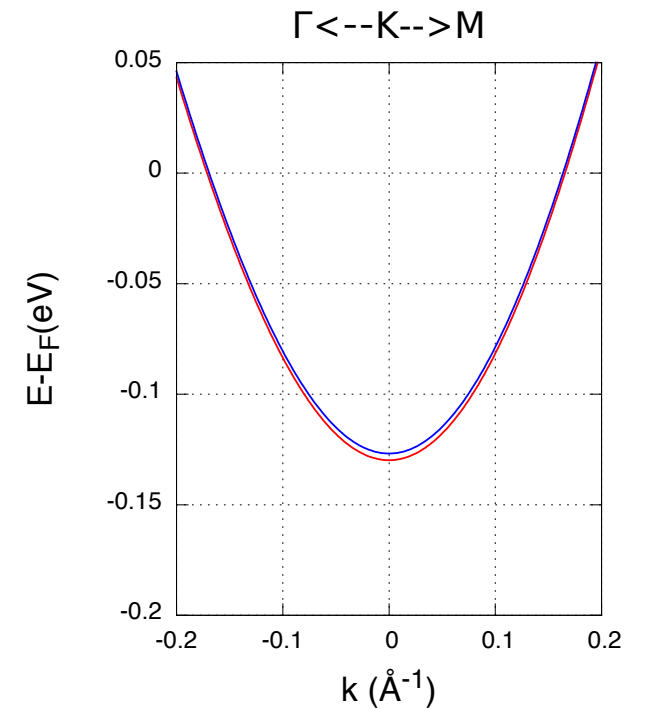
$$\begin{aligned}\varepsilon_{\text{Mo}}(\mathbf{k}) = & 2t_1 \left(\cos k_y a + 2 \cos \frac{\sqrt{3}}{2} k_x a \cos \frac{1}{2} k_y a \right) \\ & + 2t_2 \left(\cos \sqrt{3} k_x a + 2 \cos \frac{\sqrt{3}}{2} k_x a \cos \frac{3}{2} k_y a \right) \\ & + 2t_3 \left(\cos 2k_y a + 2 \cos \sqrt{3} k_x a \cos k_y a \right) - \mu\end{aligned}$$

Band calculation
at mono-layer
G.B Lin et.al:PRB

$$t_2/t_1 = -0.40$$

$$t_3/t_1 = 0.25$$

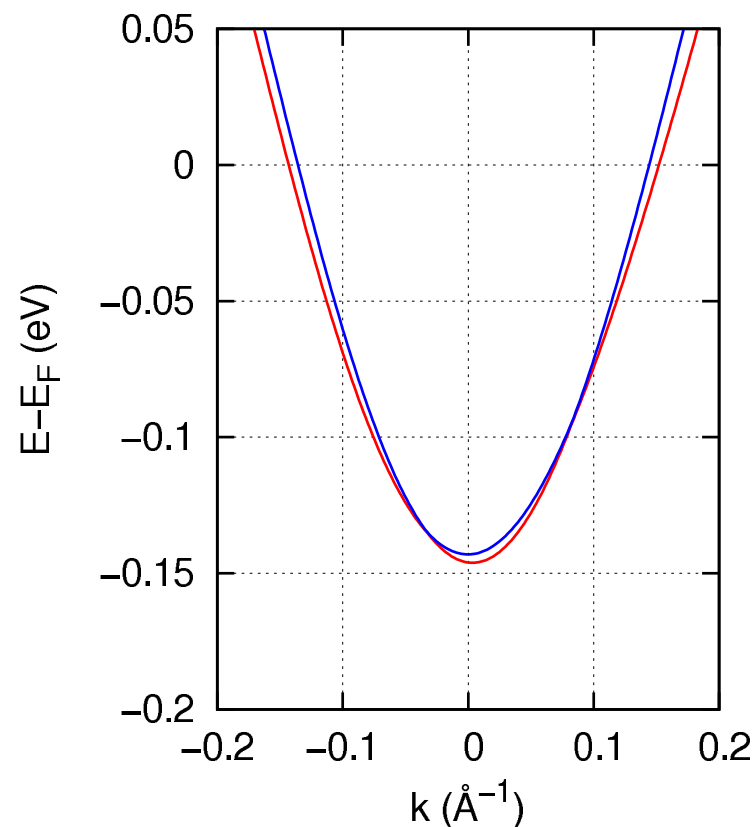
$$t_1 = 146 \text{ meV}$$



Band calculation

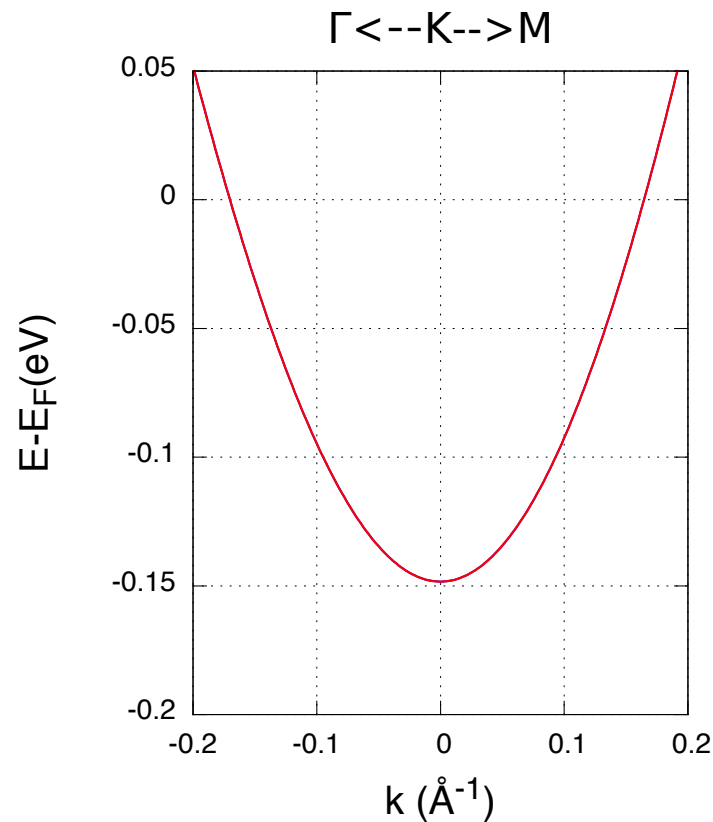
$$N \sim 8.9 \times 10^{13} \text{ cm}^{-2}$$

$\Gamma \leftarrow K \rightarrow M$

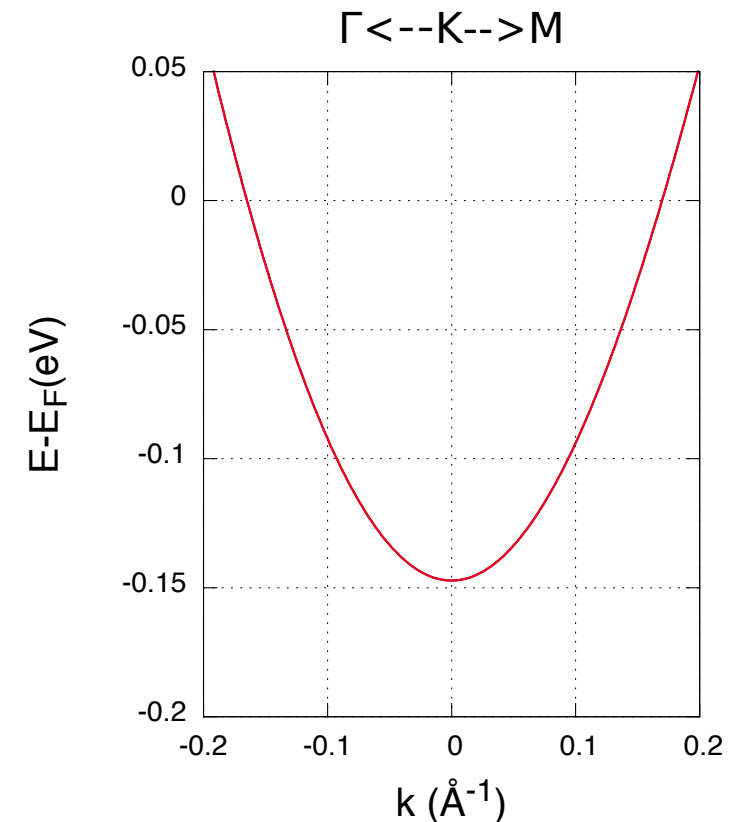


$$N \sim 8.9 \times 10^{13} \text{ cm}^{-2}$$

$$t_3/t_1 = 0.25$$



$$t_3/t_1 = 0.05$$



Dispersion

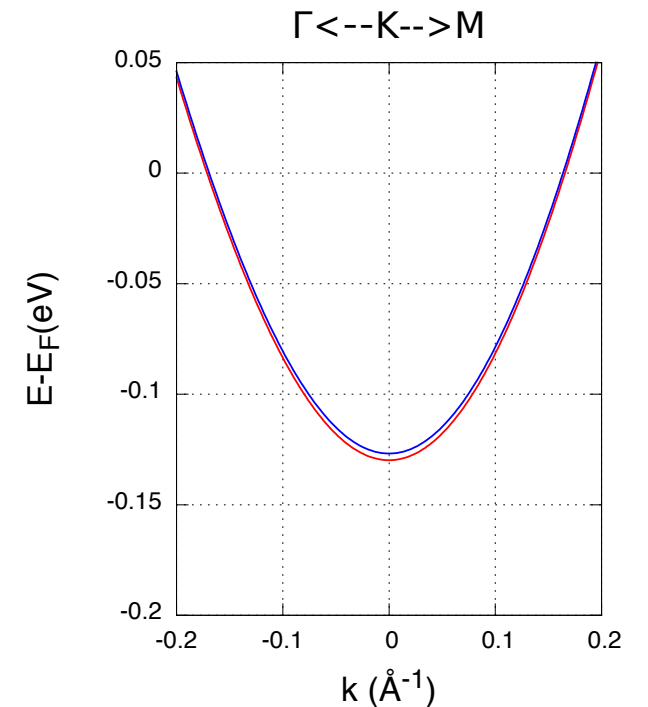
$$\begin{aligned}\varepsilon_{\text{Mo}}(\mathbf{k}) = & 2t_1 \left(\cos k_y a + 2 \cos \frac{\sqrt{3}}{2} k_x a \cos \frac{1}{2} k_y a \right) \\ & + 2t_2 \left(\cos \sqrt{3} k_x a + 2 \cos \frac{\sqrt{3}}{2} k_x a \cos \frac{3}{2} k_y a \right) \\ & + 2t_3 \left(\cos 2k_y a + 2 \cos \sqrt{3} k_x a \cos k_y a \right) - \mu\end{aligned}$$

Band calculation
at mono-layer
G.B Lin et.al:PRB

$$t_2/t_1 = -0.40$$

$$t_3/t_1 = 0.25$$

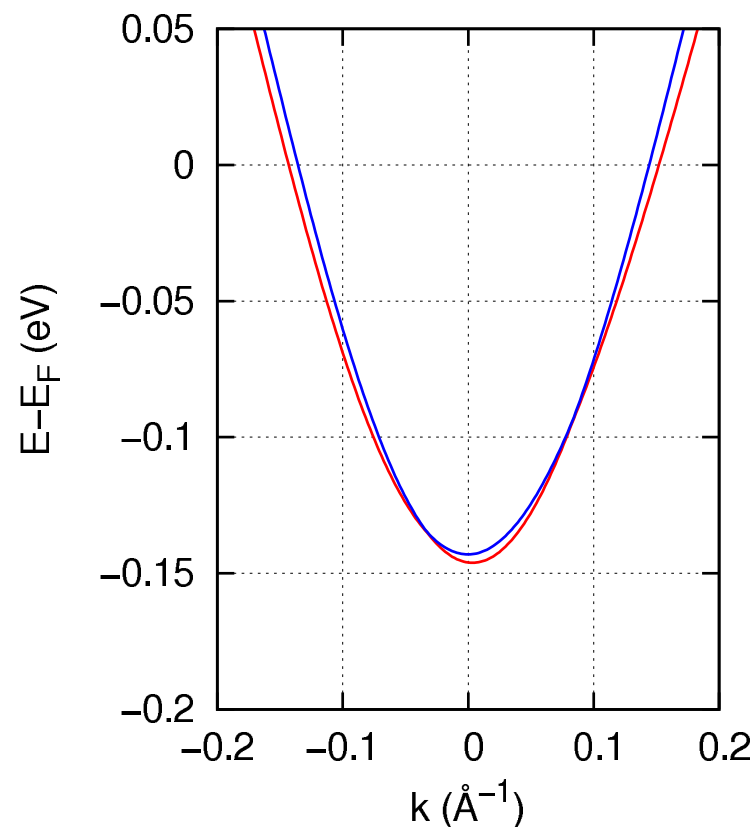
$$t_1 = 146 \text{ meV}$$



Band calculation

$$N \sim 8.9 \times 10^{13} \text{ cm}^{-2}$$

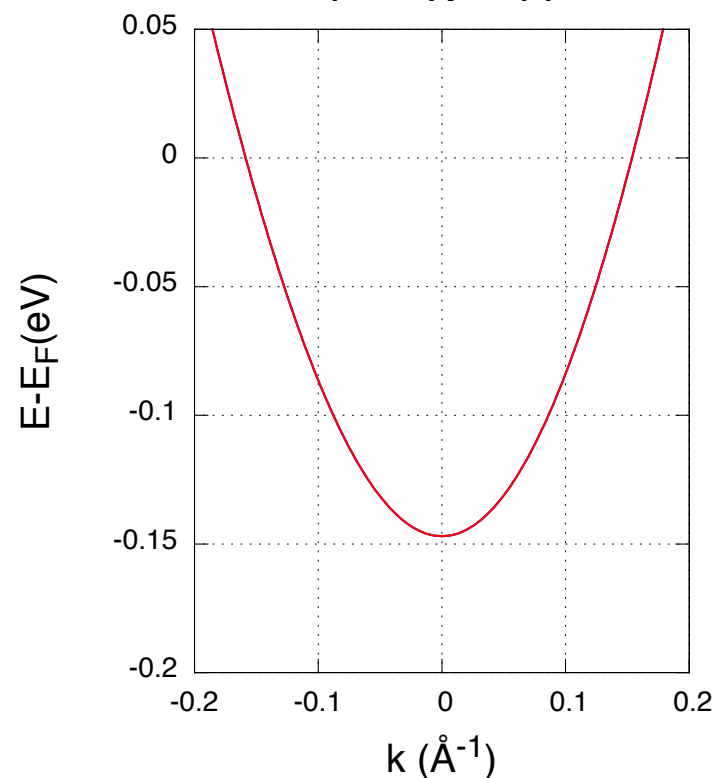
$\Gamma \leftarrow \text{K} \rightarrow \text{M}$



$$N \sim 7.7 \times 10^{13} \text{ cm}^{-2}$$

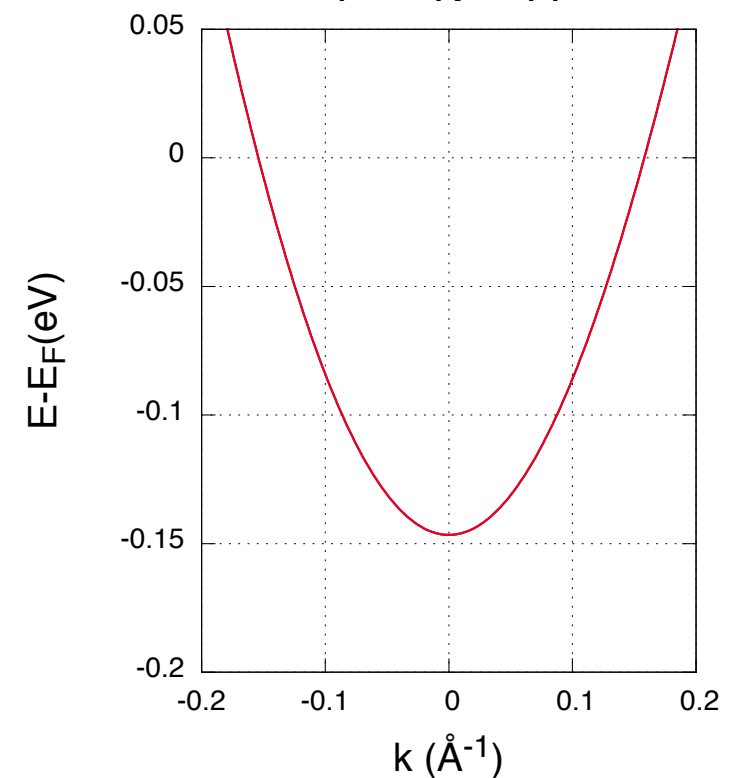
$$t_3/t_1 = 0.25$$

$\Gamma \leftarrow \text{K} \rightarrow \text{M}$



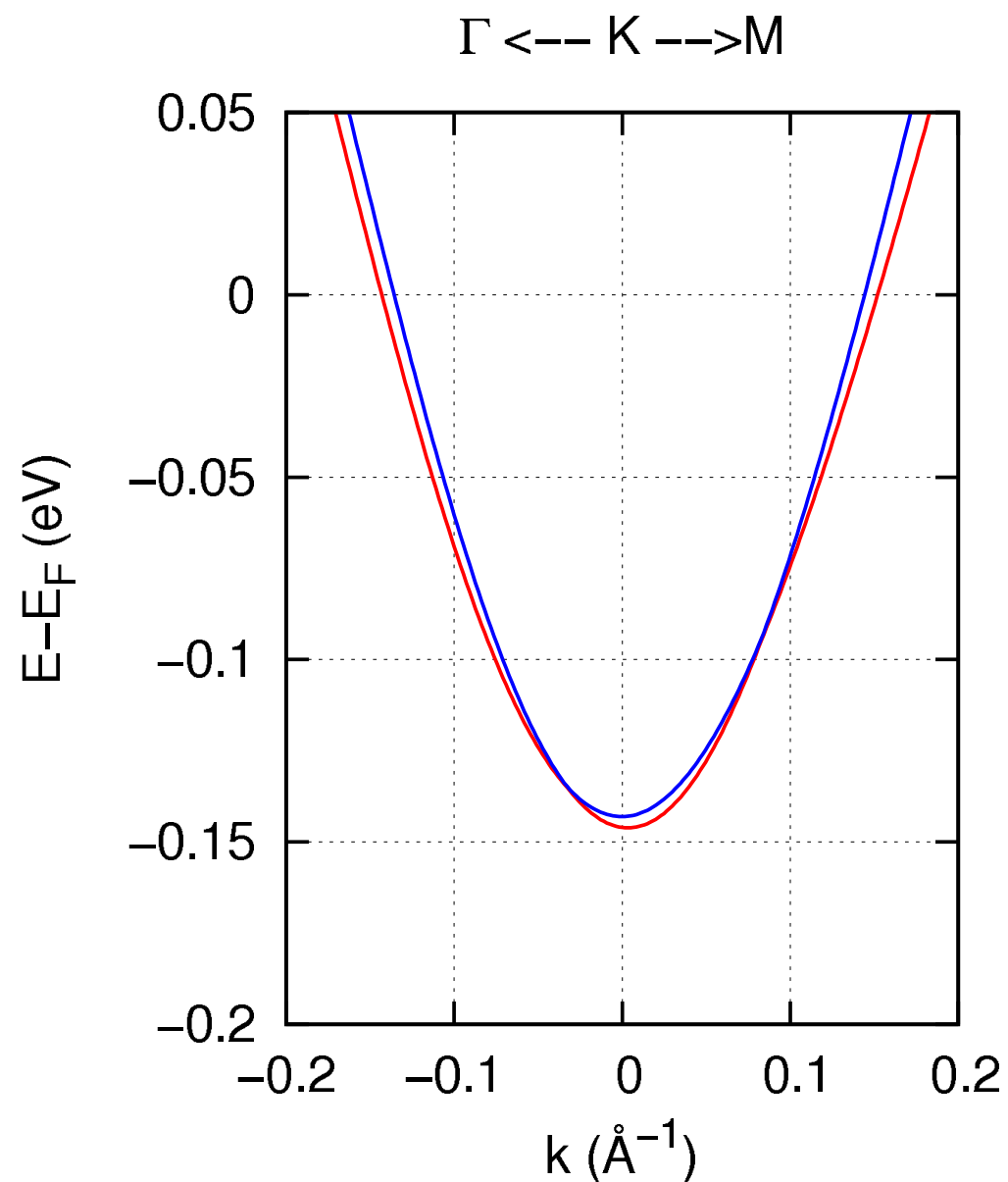
$$t_3/t_1 = 0.05$$

$\Gamma \leftarrow \text{K} \rightarrow \text{M}$

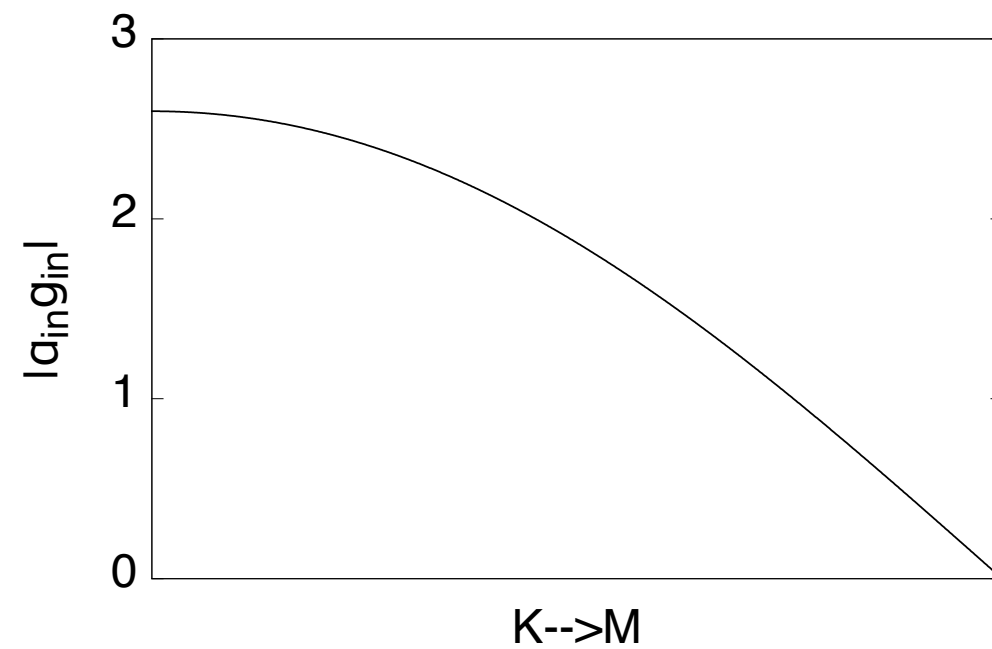


Spin split

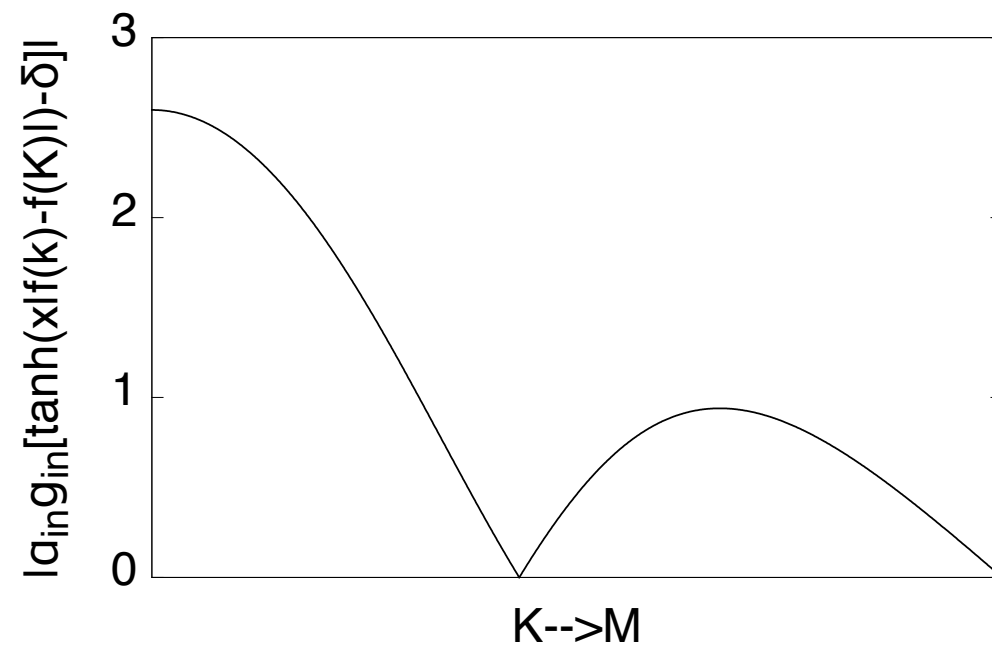
Band calculation



$$\sum_{\mathbf{k}, s, s'} \alpha_{\text{in}} \mathbf{g}_{\text{in}}(\mathbf{k}) \cdot \boldsymbol{\sigma}_{s, s'} \hat{c}_{\mathbf{k}, s}^{\dagger} \hat{c}_{\mathbf{k}, s'}$$



$$\sum_{\mathbf{k}, s, s'} \alpha_{\text{in}} \mathbf{g}_{\text{in}}(\mathbf{k}) \cdot \boldsymbol{\sigma}_{s, s'} [\tanh(x|f(\mathbf{k}) - f(K)|) - \delta] \hat{c}_{\mathbf{k}, s}^{\dagger} \hat{c}_{\mathbf{k}, s'}$$



Spin split

$$\hat{H}_{\text{in}} = \sum_{\mathbf{k}, s, s'} \alpha_{\text{in}} \mathbf{g}_{\text{in}}(\mathbf{k}) \cdot \boldsymbol{\sigma}_{s, s'} [\tanh(\alpha |f(\mathbf{k}) - f(K)|) - \delta] \hat{c}_{\mathbf{k}, s}^\dagger \hat{c}_{\mathbf{k}, s'}$$

$$\mathbf{g}_{\text{in}}(\mathbf{k}) = \left(0, 0, \sin k_y - 2 \cos \frac{\sqrt{3}}{2} k_x \sin \frac{1}{2} k_y \right)$$

$$\hat{H}_{\text{ra}} = \sum_{\mathbf{k}, s, s'} \alpha_{\text{ra}} \mathbf{g}_{\text{ra}}(\mathbf{k}) \cdot \boldsymbol{\sigma}_{s, s'} \hat{c}_{\mathbf{k}, s}^\dagger \hat{c}_{\mathbf{k}, s'}$$

$$\mathbf{g}_{\text{ra}}(\mathbf{k}) = \left(-\sin k_y - \cos \frac{\sqrt{3}}{2} k_x \sin \frac{1}{2} k_y, \sqrt{3} \sin \frac{\sqrt{3}}{2} k_x \cos \frac{1}{2} k_y, 0 \right)$$

Spin splitを決める変数は4つ

Parameter $(\alpha_{\text{in}}, \alpha_{\text{ra}}, x, \delta)$

パラメーターの決定

束縛条件

$$\frac{|\alpha_{\text{ra}} g_{\text{ra}}(k_{\text{F}})|}{|\alpha_{\text{in}} g_{\text{in}}(k_{\text{F}}) \tilde{f}^{(x,\delta)}(k_{\text{F}})|} = 0.02$$

$$2\sqrt{[\alpha_{\text{ra}} g_{\text{ra}}(k_{\text{F}})]^2 + [\alpha_{\text{in}} g_{\text{in}}(k_{\text{F}}) \tilde{f}^{(x,\delta)}(k_{\text{F}})]^2} = 13 \text{ (meV)}$$

$$2\sqrt{[\alpha_{\text{ra}} g_{\text{ra}}(K)]^2 + [\alpha_{\text{in}} g_{\text{in}}(K) \tilde{f}^{(x,\delta)}(K)]^2} = 3 \text{ (meV)}$$

$$\tilde{f}^{(x,\delta)}(\mathbf{k}) = \tanh(x|f(\mathbf{k}) - f(K)|) - \delta$$

Definition of k_{F} :

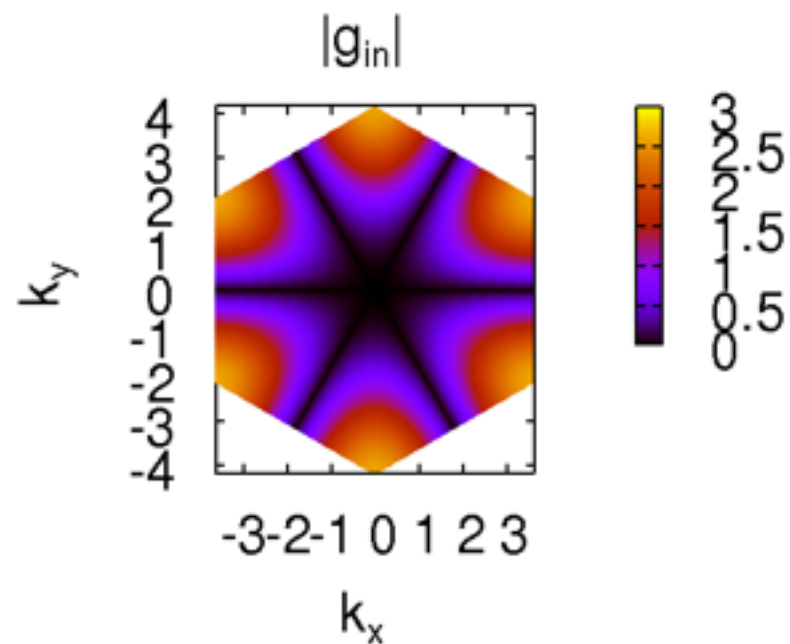
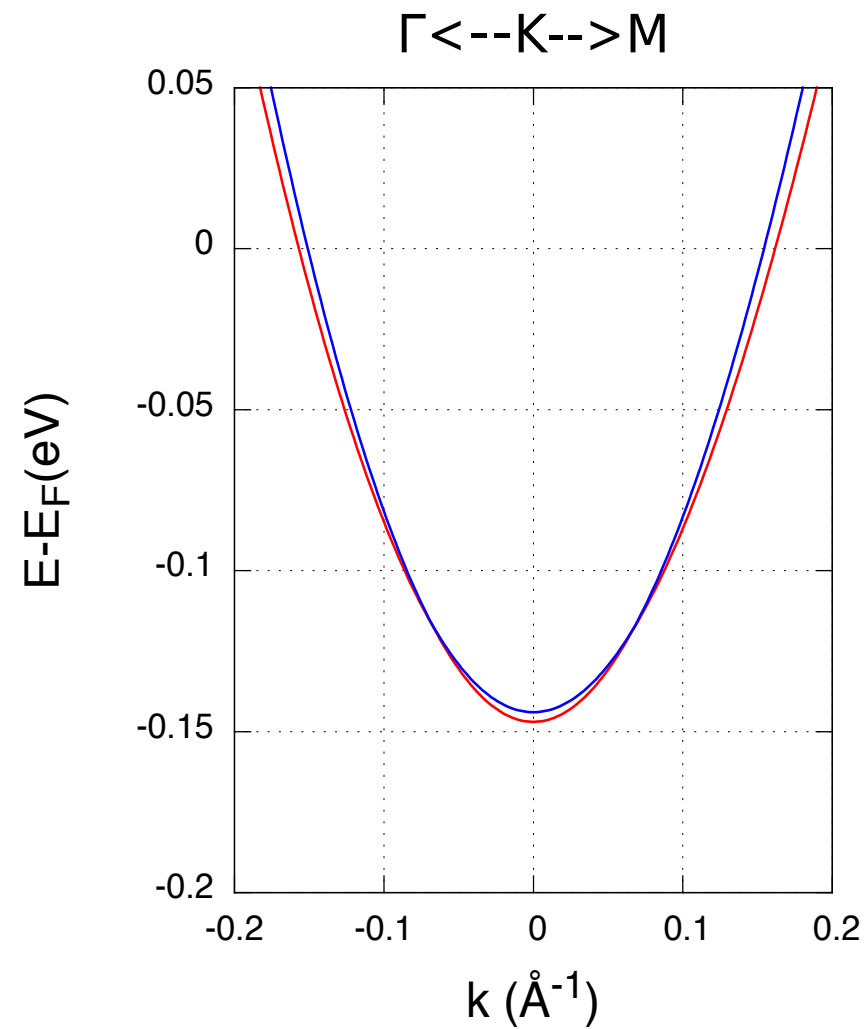
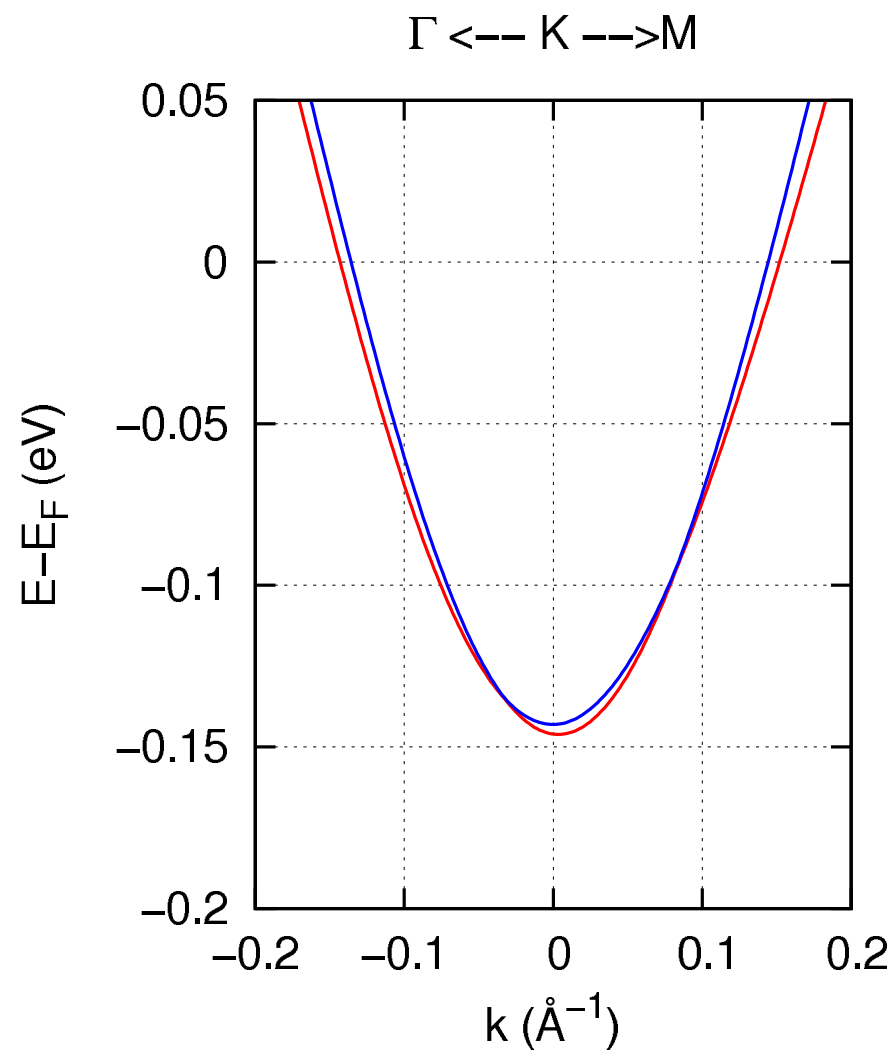
$$\frac{E_+(k_{\text{F}}) + E_-(k_{\text{F}})}{2} = 0$$

変数 4 つに対して束縛条件が 3 つ



変数を一つを決めれば他がユニークに決まる

Band calculation

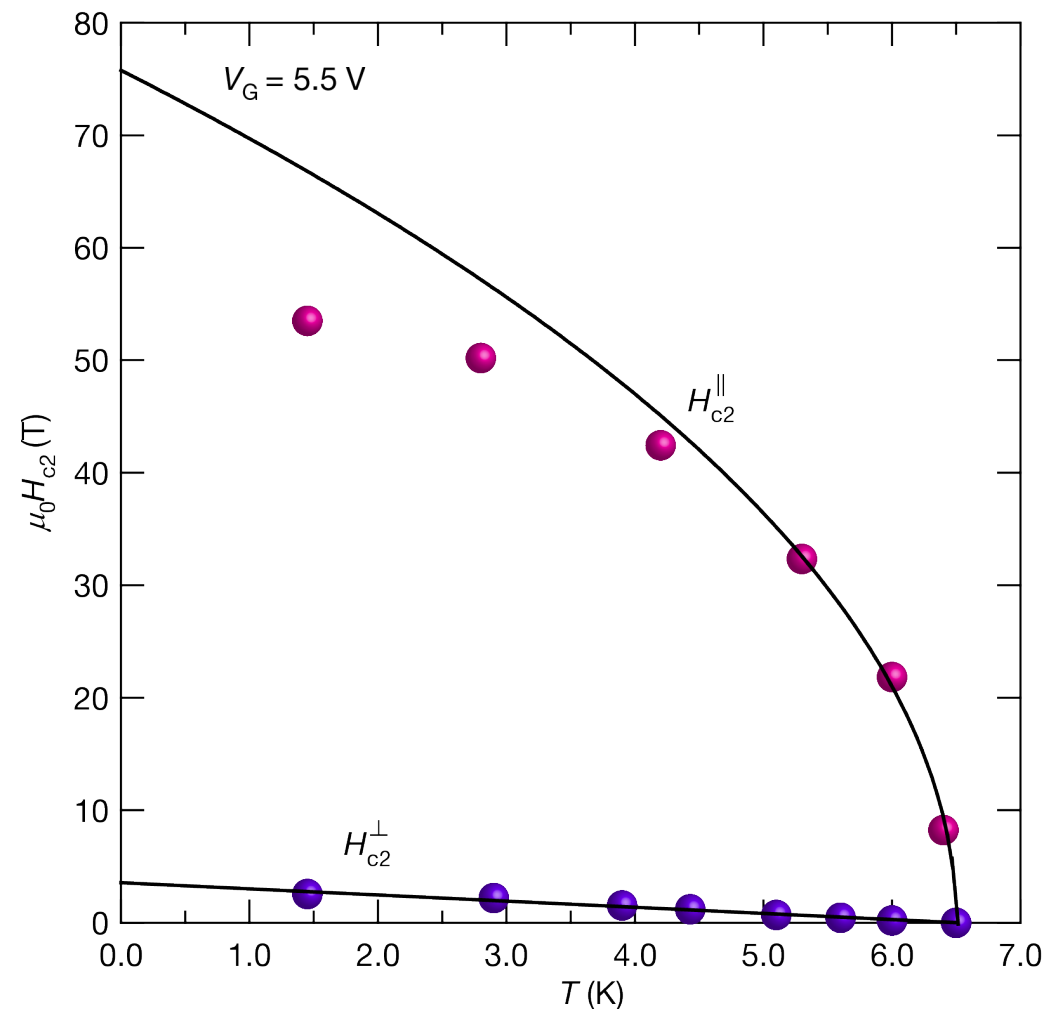


$$f(\mathbf{k}) = \left| \sin k_y - 2 \cos \frac{\sqrt{3}}{2} k_x \sin \frac{1}{2} k_y \right|$$

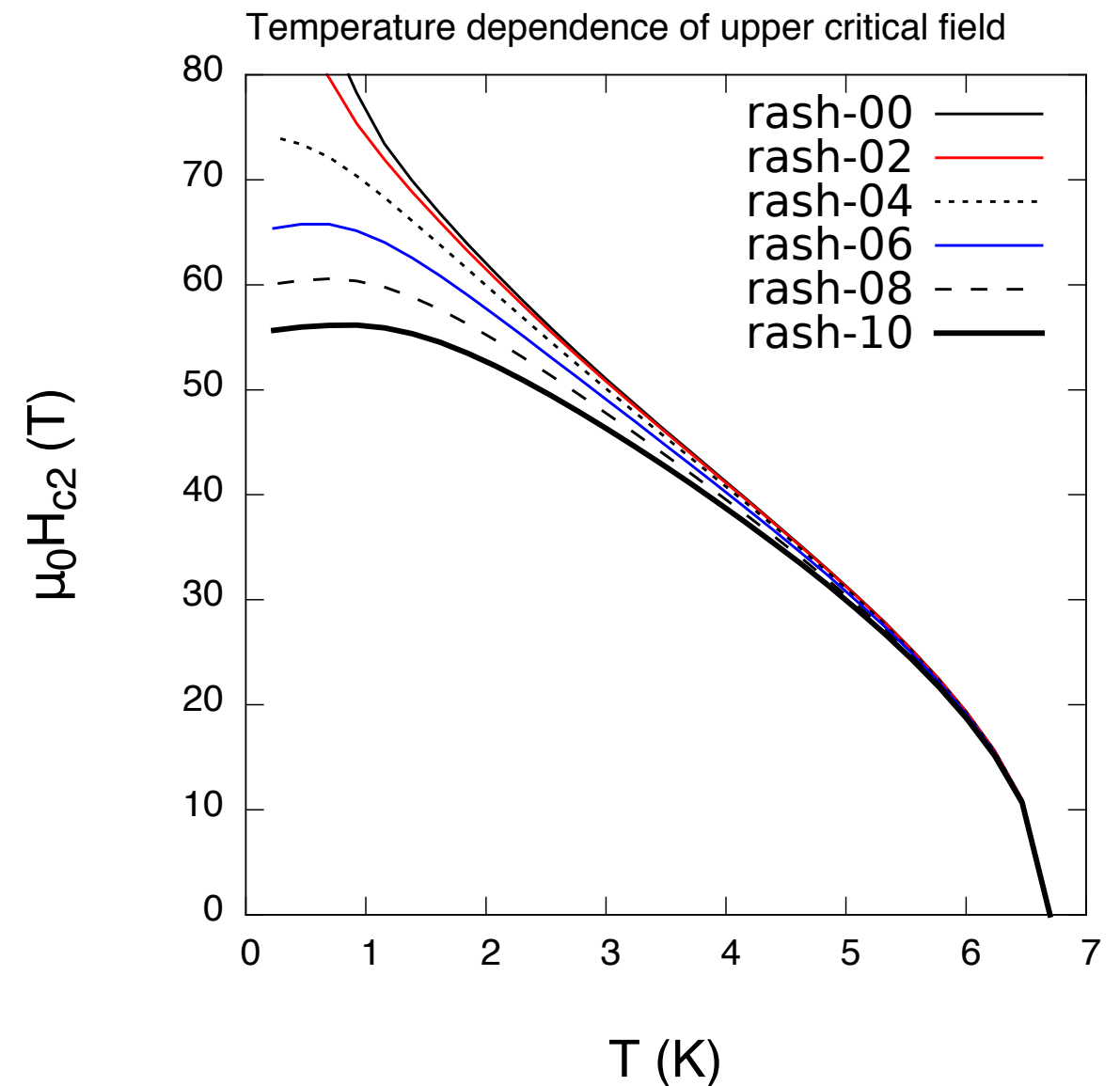
$$= |g_{in}(\mathbf{k})|$$

実験との比較

実験

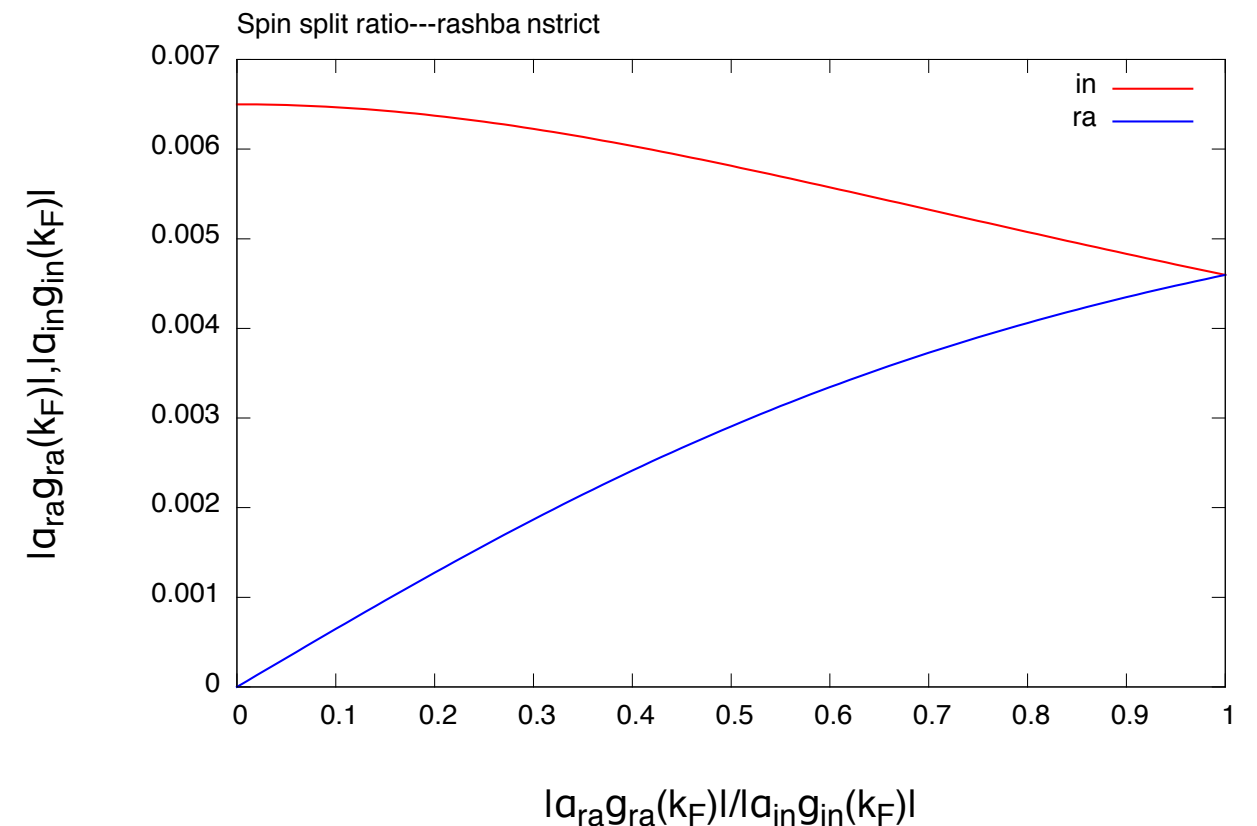
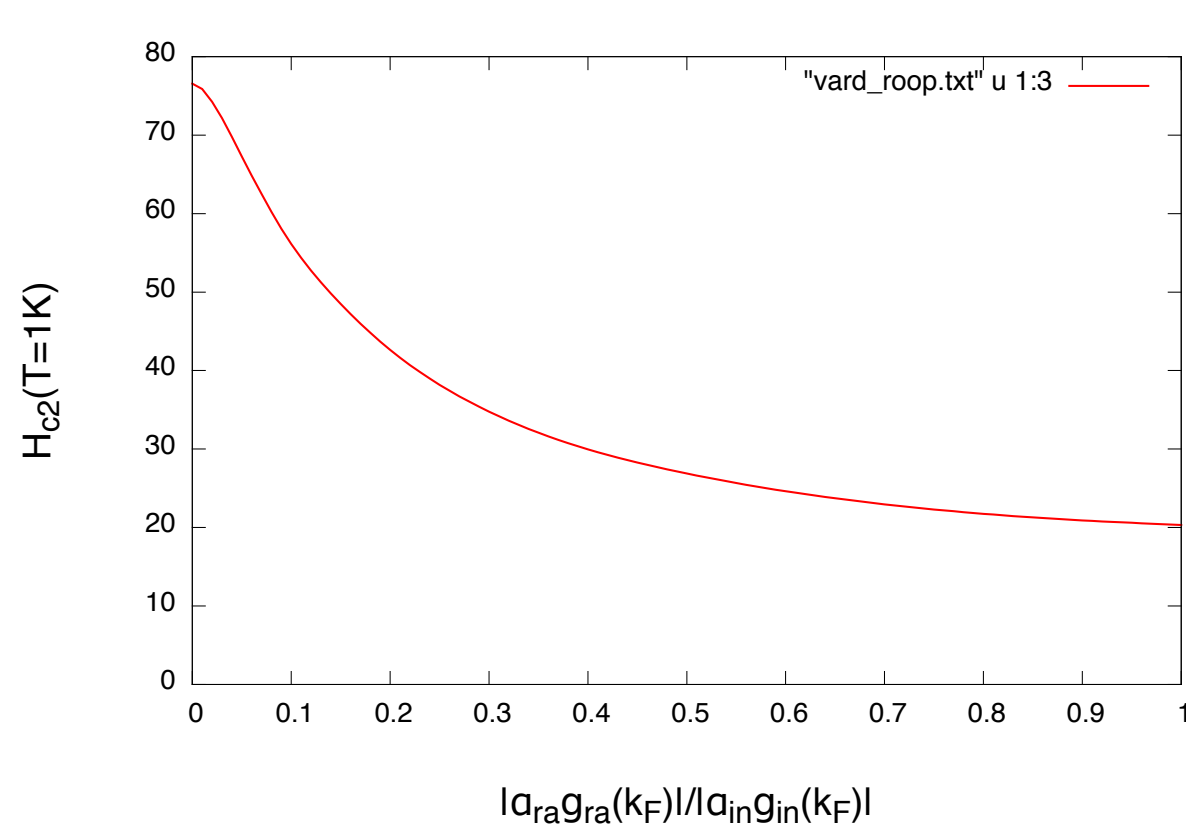


理論 $H \parallel [1, 0, 0]$



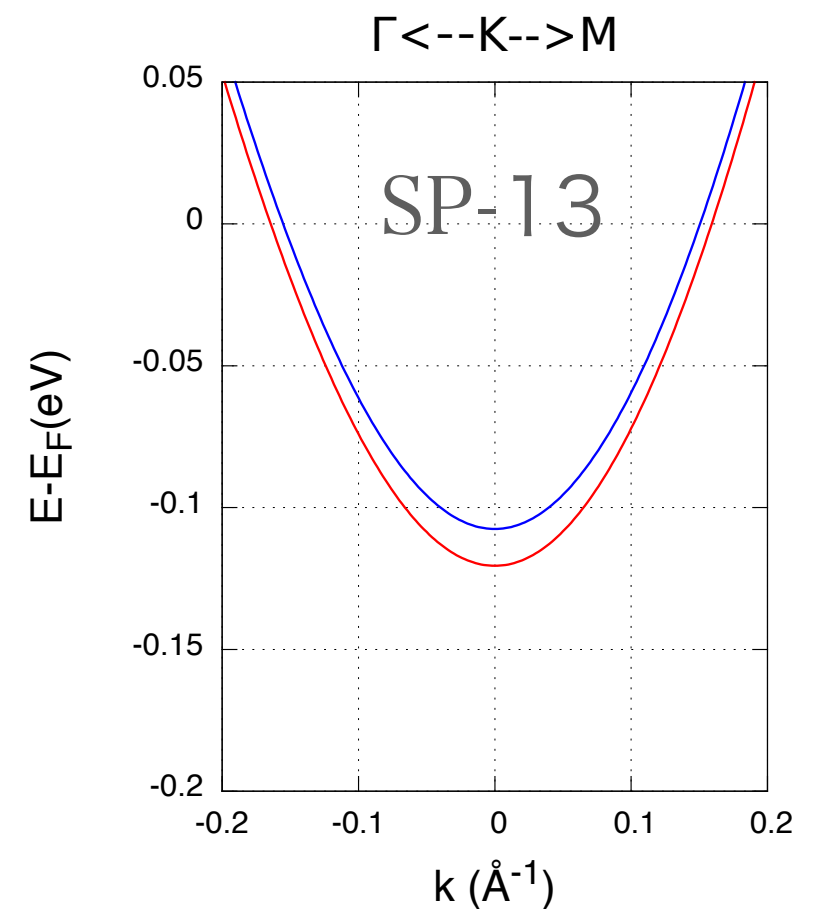
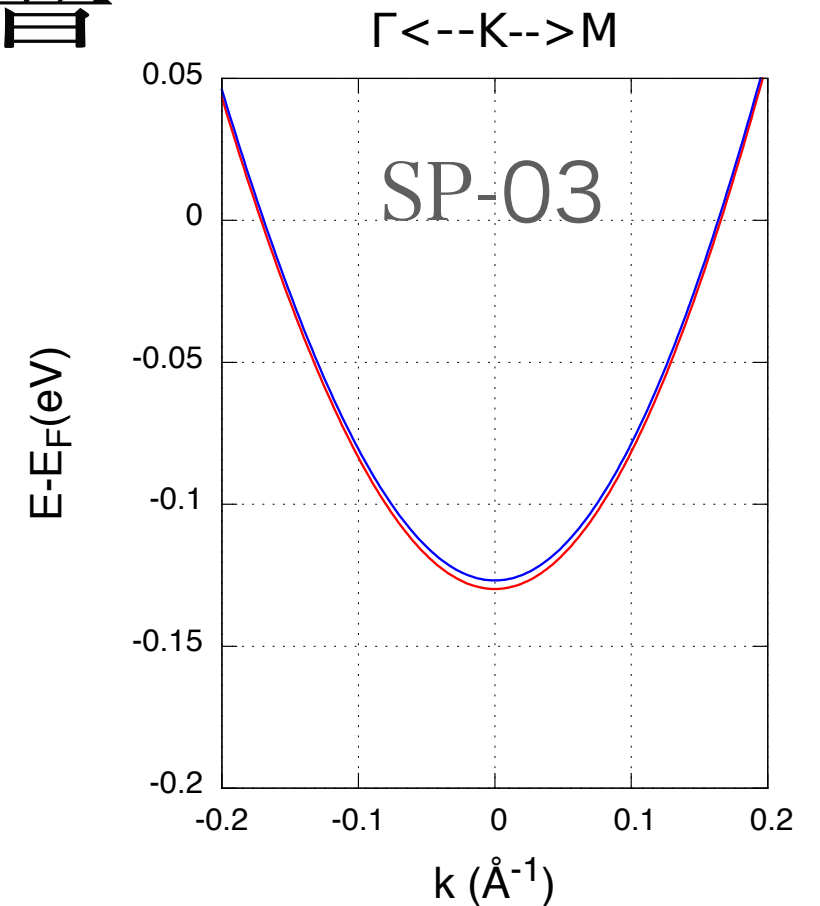
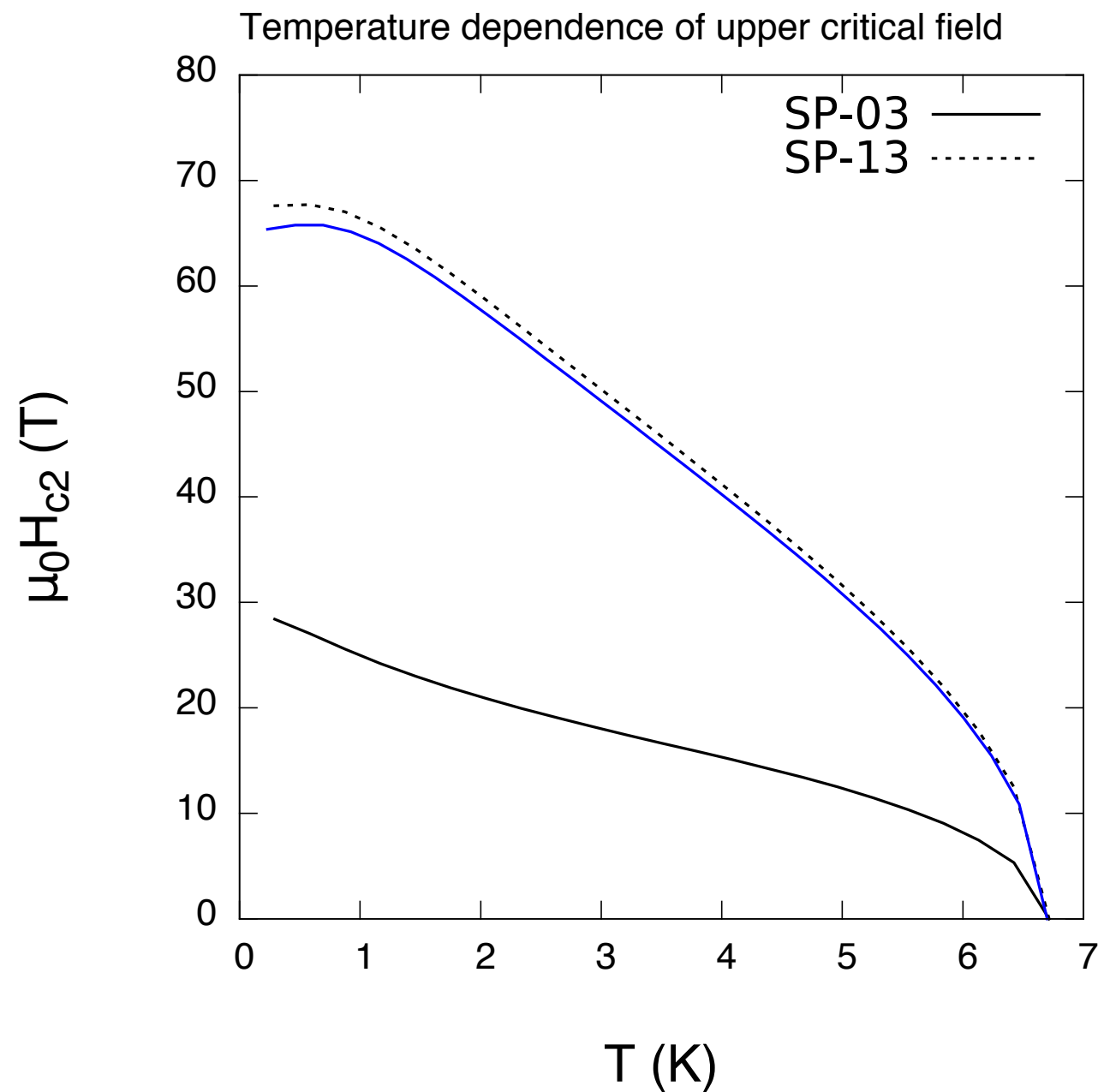
- Rashba型ASOCがInstinctASOCの 10 %程度で実験とほぼ一致
- Rashba型ASOCがInstinctASOCの 6 %程度から
低温高磁場領域で H_{c2} が温度に対してフラットになる

ASOCの比と H_{c2}



Rashba型ASOCによるSpin splitの割合が小さくても H_{c2} は大きく減少する

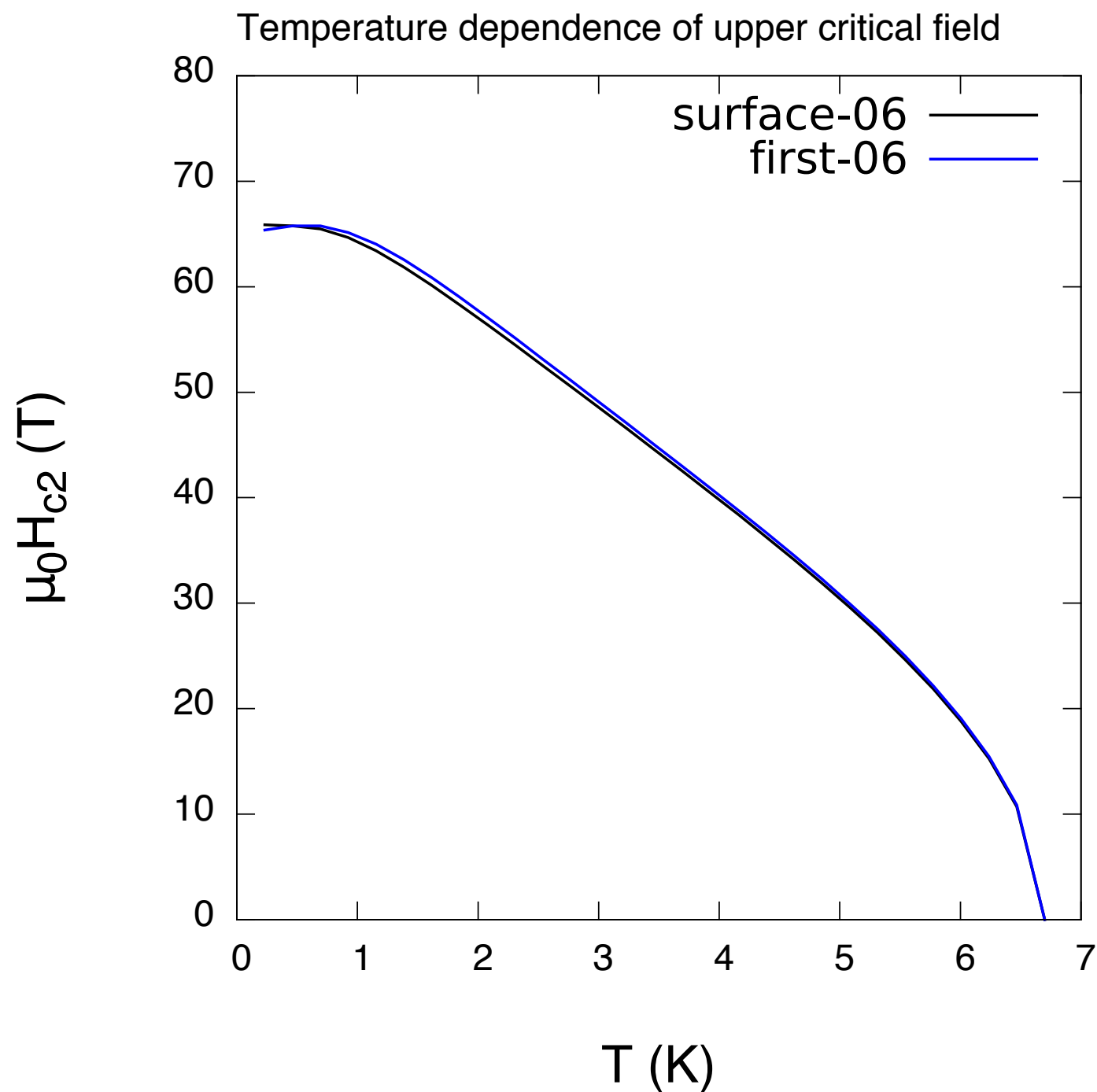
バンドが変化する影響



- 通常のmono-layerの場合と異なり
Fermi levelでのspin splitが13meVあることが重要

2 層目の影響

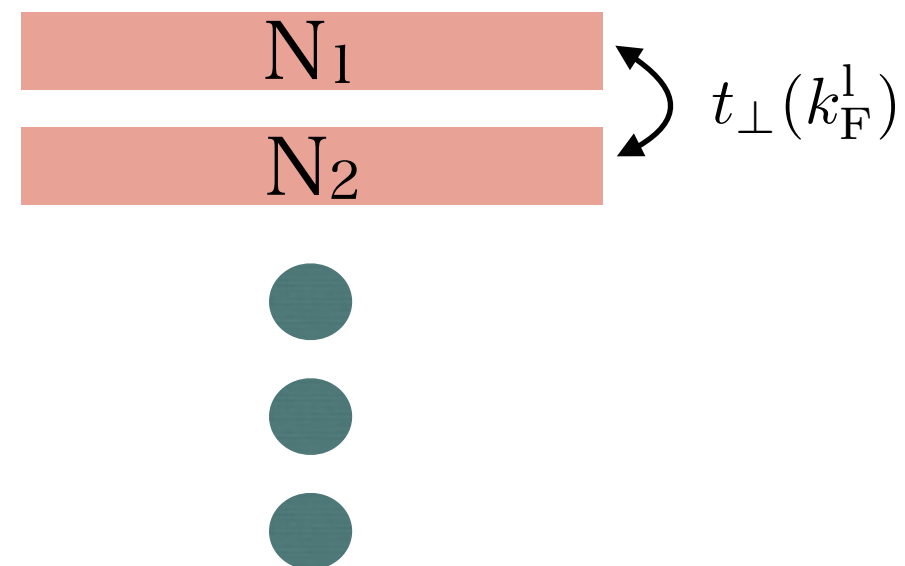
$$\frac{|\alpha_{\text{ra}} g_{\text{ra}}(k_{\text{F}})|}{|\alpha_{\text{in}} g_{\text{in}}(k_{\text{F}}) \tilde{f}^{(x,\delta)}(k_{\text{F}})|} = 0.06$$



Surface

$$N_1 \sim 7.7 \times 10^{13} \text{ cm}^{-2}$$

$$N_2 \sim 1.2 \times 10^{13} \text{ cm}^{-2}$$



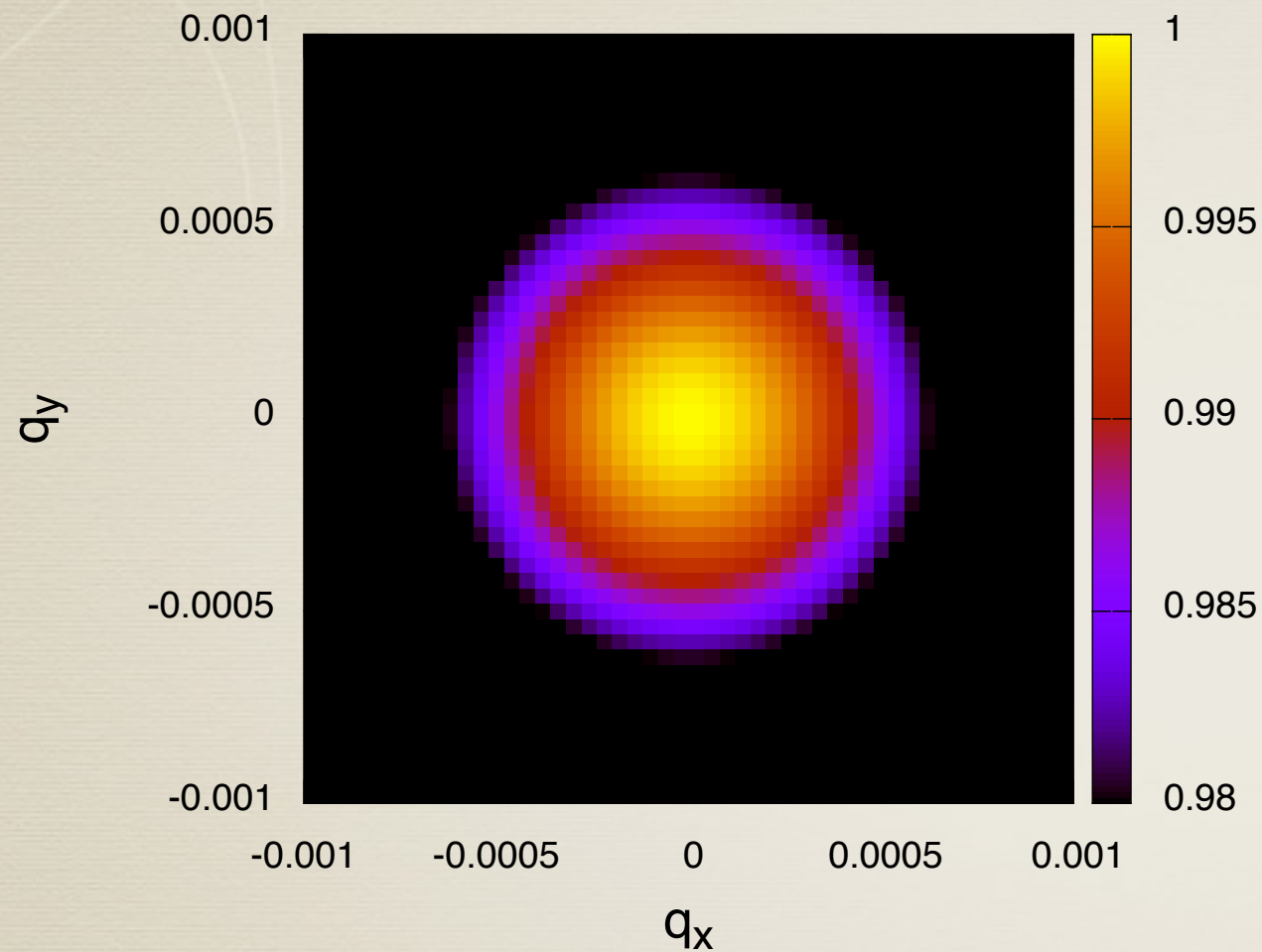
$$t_{\perp}(k_{\text{F}}^1) \sim 6.5 \text{ meV}$$

理論的にも 1 層目までの計算で十分であると考えられる

Helical 超伝導

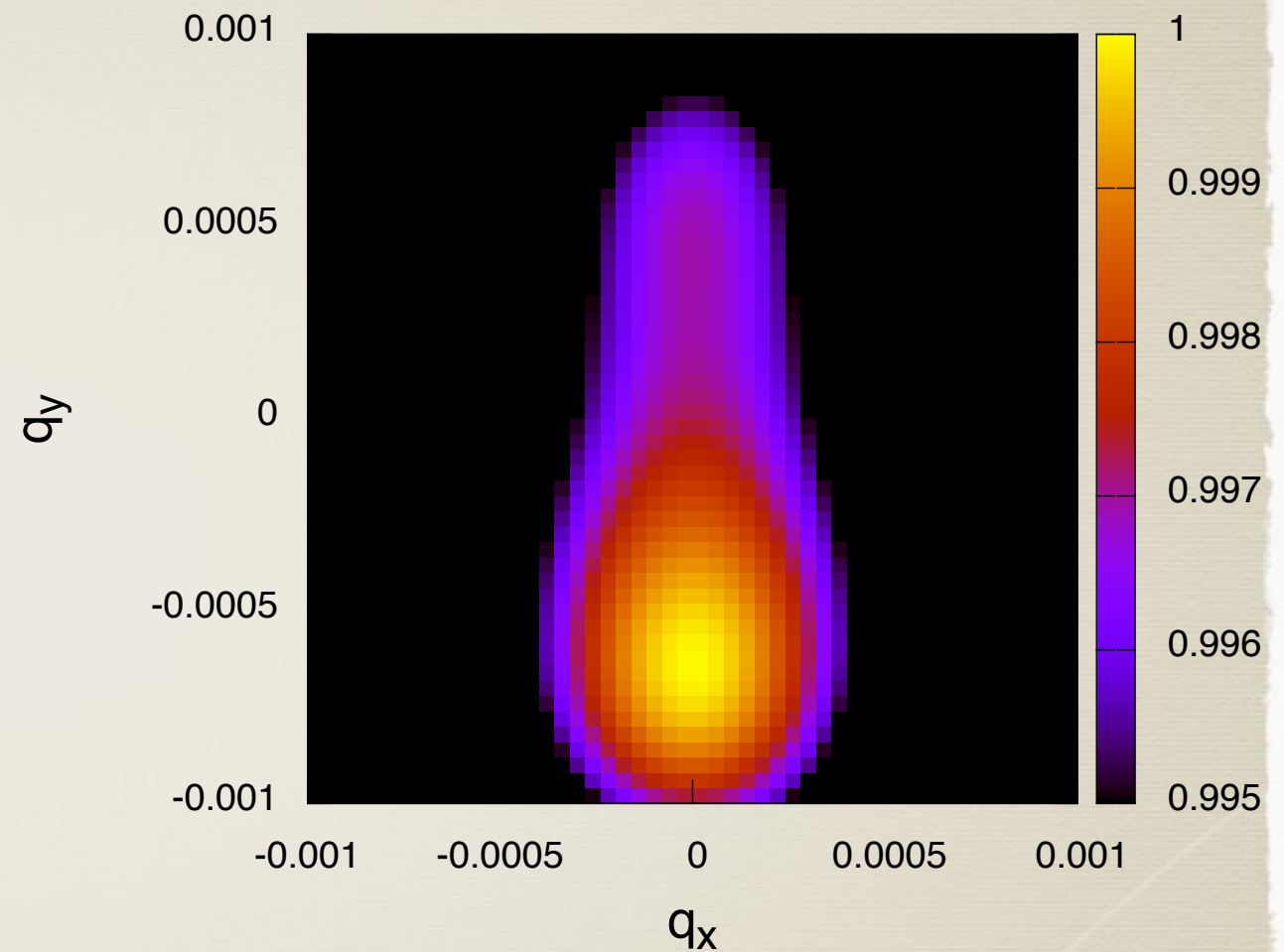
$T \sim 1K$

$$\frac{|\alpha_{\text{ra}} g_{\text{ra}}(k_{\text{F}})|}{|\alpha_{\text{in}} g_{\text{in}}(k_{\text{F}}) \tilde{f}^{(x,\delta)}(k_{\text{F}})|} = 0.00 \quad \lambda_{\text{max}}$$



BCS超伝導

$$\frac{|\alpha_{\text{ra}} g_{\text{ra}}(k_{\text{F}})|}{|\alpha_{\text{in}} g_{\text{in}}(k_{\text{F}}) \tilde{f}^{(x,\delta)}(k_{\text{F}})|} = 0.06 \quad \lambda_{\text{max}}$$



Helical超伝導